

Research Paper

Optimization of Trace Metals' Detection Device Using Monte Carlo Simulation¹

Ehsan Taghizadeh Tousi²

Received:2020.12.21
Revised:2021.02.02
Accepted:2021.04.04

Abstract

In this study, a fluorescence X-ray spectroscopy system was designed by the Solidworks computer code to detect and measure trace metals. Then, the designed device was simulated and developed by the Monte Carlo method in MCNPX software. The most excellent performance of the trace element detection system was respectively found at 3 cm and 30 cm for source-to-sample distance (SSD) and source-to-detector distance (SDD), respectively. According to the results of different runs of the simulation code, the largest intensity of absorbed X-ray by the detector was obtained for the collimator's diameter of 3 mm. In addition, the absence of lead shielding around the surrounding metal walls of the detector, even with the use of a lead collimator at the entrance of the detector window, increases the entrance of background beams to the detector and so, it will cause the reduction of spectroscopic accuracy in detecting trace elements. The least amounts of concentration for detecting arsenic, lead, mercury, zinc, copper, and iron were calculated as 0.17 mg/kg, 0.40, 18.40, 20.00, 146.00, and 266.67 mg/kg, respectively. Due to the concentration and level of pollution of these elements, the rare metal detection device designed for research and educational samples, especially in environmental and agricultural samples, will be extremely practical and useful.

Keywords: Intensity of X-ray, Minimum Detection Limit, Monte Carlo, Trace Metals.

¹ - DOI: 10.22051/ijap.2021.34487.1187

² - Assistant Professor, Department of Industrial and Mechanical Engineering, Faculty of Engineering, University of Torbat Heydariyeh, Torbat Heydariyeh, Khorasan Razavi, Iran. Email: e.taghizadeh@torbath.ac.ir

بهینه‌سازی دستگاه تشخیص فلزات کمیاب با استفاده از شبیه‌سازی مونت کارلو^۱

احسان تقی‌زاده طوسي^۲

تاریخ دریافت: ۱۳۹۹/۱۰/۰۱

تاریخ بازنگری: ۱۳۹۹/۱۱/۱۴

تاریخ پذیرش: ۱۴۰۰/۰۱/۱۵

چکیده

در این پژوهش، ابتدا یک سیستم طیف‌سنجدی اشعه ایکس فلورسانس با هدف تشخیص و اندازه‌گیری عناصر کمیاب طراحی شد و سپس به روش مونت کارلو در نرم‌افزار MCNPX، شبیه‌سازی و توسعه داده شد. با توجه به نتایج اجراء‌های متفاوت کد شبیه‌سازی، بهترین عملکرد سیستم تشخیص عناصر کمیاب در فواصل حدود ۳cm و ۳۰cm، به ترتیب برای فاصله چشممه تا نمونه (SSD) و فاصله چشممه تا آشکارساز (SDD) تعیین شد. به علاوه، مقدار بیشینه شدت پرتوی اشعه ایکس واردشده به آشکارساز برای موازی‌ساز به قطر ۳ mm حاصل شد. همچنین نتایج شبیه‌سازی نشان می‌دهد که عدم حضور محافظه سربی در اطراف دیواره‌های فلزی خارجی آشکارساز، حتی با وجود استفاده از موازی‌ساز سربی در ورودی پنجره آشکارساز، باعث افزایش ورود پرتوهای زمینه به آشکارساز و در نتیجه کاهش دقت طیف‌سنجدی در تشخیص عناصر

¹ DOI: 10.22051/ijap.2021.34487.1187

² استادیار، گروه مهندسی صنایع و مکانیک، دانشکده فنی و مهندسی، دانشگاه تربت حیدریه، خراسان رضوی، ایران.

Email: e.taghizadeh@torbath.ac.ir

کمیاب خواهد شد. حد کمینهٔ تشخیص غلظت فلزات زرنيخ، سرب، جيوه، روی، مس و آهن به ترتیب mg/kg ۰/۱۷، ۰/۴۰، ۱۸/۴۰، ۲۰/۰۰، ۱۴۶/۰۰ و ۲۶۶/۶۷ محاسبه شد. با توجه به غلظت و حد آلایندگی این عناصر، دستگاه تشخیص فلزات کمیاب طراحی شده برای نمونه‌های تحقیقاتی و آموزشی، به ویژه در نمونه‌های محیط زیستی و کشاورزی، بسیار کاربردی و مفید خواهد بود.

واژگان کلیدی: شدت باریکه اشعه ایکس، حداقل حد تشخیص، فلزات کمیاب، مونت کارلو.

۱. مقدمه

طیف‌سنجی فلورسانس اشعه ایکس (XRF) روشی غیرمخرب و دقیق و سریع است که کاربردهای بسیاری در زمینه‌های علمی و عملی از جمله زمین‌شناسی، کانی‌شناسی، تجزیه و تحلیل مواد، بوم‌شناسی، محیط زیست، باستان‌شناسی، پزشکی و همچنین موارد صنعتی دارد [۱]. استفاده از XRF نسبت به روش‌های تجزیه و تحلیل دیگر مزیت‌های زیادی دارد. اول، بسیار سریع و جامع بوده و نیاز به تکرار آزمایش‌های متعدد ندارد. دوم، راه‌اندازی آن ساده و ارزان است. این سامانه شامل دو قسمت اصلی، چشمۀ تابش تحریک‌کننده و آشکارساز به عنوان سیستم تشخیص، است. در طراحی دستگاه XRF از برخی مؤلفه‌های دیگر نیز از جمله قسمت‌های الکترونیکی متصل به آشکارساز، برنامۀ تحلیل داده‌ها و محافظه‌های اطراف منبع و آشکارساز و نمونه استفاده می‌شود.

هدف اصلی استفاده از چشمۀ در دستگاه XRF، بمباران نمونه و ایجاد اشعه ایکس از نمونه برانگیخته است. منابع تابش در دستگاه XRF به دو دستهٔ اصلی تقسیم می‌شود: ایزوتوب رادیواکتیو و لولۀ اشعه ایکس [۲]. استفاده از چشمۀ پرتوزا، به دلیل کاربرد آسان و هزینه کم، بسیار رایج است. ذرات یا فوتون‌های اولیۀ ساطع شده از چشمۀ، می‌توانند نمونه را تحریک کرده و فوتون‌های پرتونگاری ثانویه از اتم‌های تحریک‌شده هدف، ایجاد کنند. طیف اشعه ایکس حاصل از نمونه تحریک‌شده توسط یک آشکارساز مناسب ثبت شده و بر اساس آن عناصر نمونه از نظر کمی و کیفی مشخص خواهند شد. از لحاظ نظری، این روش می‌تواند تقریباً هر عنصر در جدول تناوبی را اندازه‌گیری کند. با این همه، حساسیت و دقت این روش برای تشخیص همه عناصر یکسان نبوده و به عوامل متنوعی به ویژه طیف انرژی چشمۀ تحریک‌کننده و طراحی و حفاظت‌بندی سیستم بستگی دارد [۳].

انتخاب چشمۀ مناسب، اولین و مهم‌ترین بخش از طراحی هر سامانه XRF است. تابش ساطع شده از چشمۀ با انرژی بسیار کم، نمی‌تواند انرژی لازم برای تحریک نمونه و در نتیجه آزادسازی اشعۀ ایکس مشخصه عنصر مدنظر را فراهم کند. از طرف دیگر، چشمۀ با تابش بسیار پر انرژی باعث ایجاد پراکندگی‌های کامپتون و همدوسی می‌شود، که در آشکارساز جذب شده و در نتیجه طیف خروجی آشکارساز بسیار پیچیده و کم دقت خواهد شد [۴].

تابش ایکس حاصل از نمونه تحریک شده برای تشخیص عناصر کمیاب در مقایسه با تابش زمینه و اختلال ذاتی محیط، معمولاً بسیار ضعیف است. بنابراین، طراحی مناسب سامانه XRF با کاربری تشخیص عناصر کمیاب، به ویژه طراحی بهینه سپر و تعیین موقعیت مناسب چشمۀ پرتوزا، نمونه و آشکارساز، در بهبود عملکرد آن و افزایش ظرفیت تحلیلی آن و همچنین ایجاد توانایی تشخیص کم‌ترین غلظت هدف ممکن عناصر در نمونه، نقش بسیار مهم و ضروری دارد.

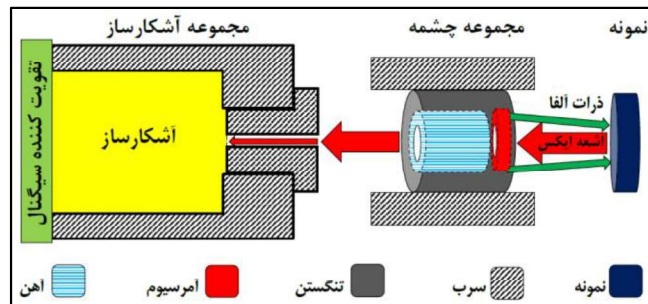
چشمۀ آمرسیوم (Am^{241}) به طور هم‌زمان ذرات آلفا و فوتون‌های گاما ساطع می‌کند. تابش آلفای چشمۀ آمرسیوم، با انرژی $5/53 \text{ MeV}$ ، فقط برای استفاده در چشمۀ‌های ترکیبی نوترونی (مانند چشمۀ آمرسیوم‌بریلوم) به کار می‌رود، زیرا ذرات آلفا در فوacial بسیار کوتاهی و ضخامت‌های بسیار کم نیز به راحتی جذب مواد دیگر از جمله هوا می‌شوند. در حالی که فوتون‌های چشمۀ آمرسیوم با طیف گسستۀ انرژی کم‌تر از 60 keV ، دارای کاربردهای تشخیصی و پرتونگاری است. لامپ اشعۀ ایکس در نمونه‌های تجاری دستگاه طیف‌سنجد XRF، به عنوان چشمۀ پرتو در انرژی‌های متنوع کاربرد دارد. از لامپ اشعۀ ایکس با انرژی کم در تشخیص عناصر کمیاب استفاده می‌شود. برای نمونه، یکی از لامپ‌های تجاری اشعۀ ایکس در دستگاه‌های طیف‌سنجد تشخیصی XRF، لامپ ۱23-X است که دارای طیف انرژی کم‌تر از 50 keV است. بنابراین و با توجه به پژوهش‌های گذشته، یک چشمۀ حلقوی پرتوزای آمرسیوم با نیمة عمر بسیار زیاد (حدود ۴۰۰ سال)، دسترس پذیری، شار و قیمت مناسب، به عنوان چشمۀ پرتوزای لازم در دستگاه تشخیص عناصر کمیاب در این تحقیق انتخاب شد. با این که چشمۀ آمرسیوم بیشتر در دسته چشمۀ‌های آلفازا تقسیم‌بندی شده، در دستگاه تشخیص عناصر کمیاب از فوتون‌های گامای آن استفاده خواهد شد، که پس از برخورد با اتم‌های نمونه و تحریک آن‌ها، باعث تولید فوتون‌های ثانویه ایکس از نمونه می‌شوند [۸-۵].

هدف اصلی این تحقیق، طراحی و شبیه‌سازی و بهینه‌سازی دستگاه تشخیص عناصر کمیاب برای مؤسسات آموزشی و پژوهشی است، که با استفاده از الگوبرداری از نمونه‌های اجرشده [۵-۷] و با توجه به چشمۀ‌های پرتوزای ارزان و قابل دسترس، انجام شده است. برای این منظور، در

ابتدا قطعات سیستم در نرم افزار مهندسی سالیدورکر (Solidworks 2016 premium X64) طراحی و مونتاژ شده و پس از آن با استفاده از روش مونت کارلو در نرم افزار تخصصی هسته‌ای MCNPX، تحلیل و بررسی شد. همچنین، حداقل مقدار لازم فلزات کمیاب هدف برای تشخیص پذیری محاسبه شد.

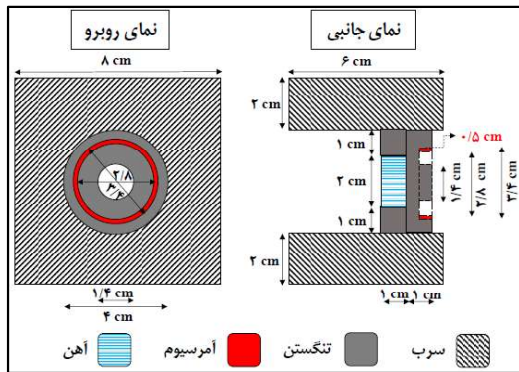
۲. مواد و روش‌ها

جلوگیری از ورود مستقیم پرتوهای ساطع شده از چشم به آشکارساز، یکی از چالش‌های اصلی برای کاهش خطأ و افزایش دقت نتایج طیف‌سنجدی است. برای این منظور و بر اساس پژوهش‌های گذشته، چشمۀ آمرسیوم به شکل حلقوی و در مکانی مابین آشکارساز و نمونه در نظر گرفته شد. با انتخاب حفاظت مناسب بین چشمۀ آشکارساز، میزان ورود مستقیم ذرات و فوتون‌های ساطع شده از چشمۀ آشکارساز به شدت کاهش یافه، در حالی که پرتوهای گامای ساطع شده از نمونه می‌توانند از حفره وسط چشمۀ عبور کرده و وارد آشکارساز شوند. شکل ۱ ساختار کلی سیستم تشخیص عناصر کمیاب بر اساس طیف‌سنجدی اشعه ایکس مشخصه عنصر را نشان می‌دهد [۱۱-۷].



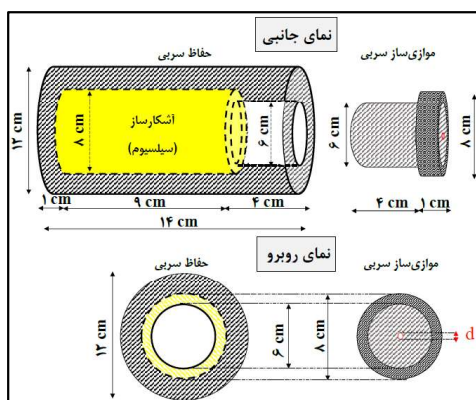
شکل ۱ ساختار کلی سیستم XRF تجربی.

شکل ۲ طراحی و ابعاد مجموعه چشمۀ آمرسیوم را نشان می‌دهد. برای کاهش خوانش پرتوهای پیش‌زمینه، تمرکز پرتوی ایکس ساطع شده از نمونه و در نتیجه افزایش دقت آشکارساز، از موازی‌ساز در ورودی آشکارساز استفاده می‌شود. آشکارساز گاما از نوع ژرمانیوم-سیلیکن کم انرژی (LEGe)، به دلیل دسترس پذیری، دقت و سرعت بالا و همچنین قیمت بسیار مناسب، در طراحی سیستم عناصر کمیاب انتخاب شد. بنابراین، از سرب به عنوان ماده سازنده موازی‌ساز، استفاده شد.



شکل ۲ طرح مجموعه چشم آرسیوم و حفاظه‌های آن.

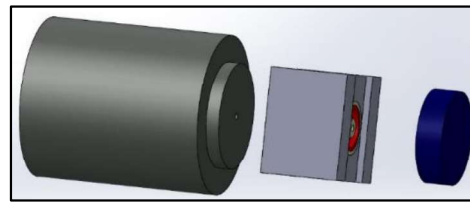
وظیفه اصلی موازی‌ساز، تنظیم و واگرسازی پنهانی پرتوی ورودی به آشکارساز است. بنابراین، انتخاب مناسب قطر حفره ورودی موازی‌ساز به عنوان پنجره وروردی آشکارساز بسیار اهمیت دارد. اگر قطر حفره موازی‌ساز بیش از حد بزرگ باشد، باعث ورود پرتوهای زمینه می‌شود. همچنین، پنجره موازی‌ساز در اندازه بیش از حد کوچک باعث کاهش شدت تابش ورودی به آشکارساز خواهد شد. استوانه‌ای توپر از جنس سیلیکن با قطر حدود ۸ cm و ارتفاع تقریباً ۹ cm به عنوان آشکارساز LEGe طراحی شد. جهت دستیابی به قدرت تفکیک انرژی مناسب برای پرتوهای ایکس مشخصه، ضخامت آشکارساز محدود شده و سعی می‌شود از سطح بزرگ‌تری از آشکارساز استفاده کرد. مطابق با اطلاعات شرکت‌های تولیدکننده، برای تشخیص فوتون‌های کم انرژی با آشکارسازی از جنس سیلیکن، ضخامت پنجره خوانش باید در حد چند میلیمتر باشد. بنابراین، یاخته‌ای با ضخامت ۲ میلیمتر در ورودی استوانه آشکارساز برای اندازه‌گیری پرتوهای ورودی، در نظر گرفته شد. شکل ۳ طرح آشکارساز و حفاظ سربی و موازی‌ساز آن را نشان می‌دهد.



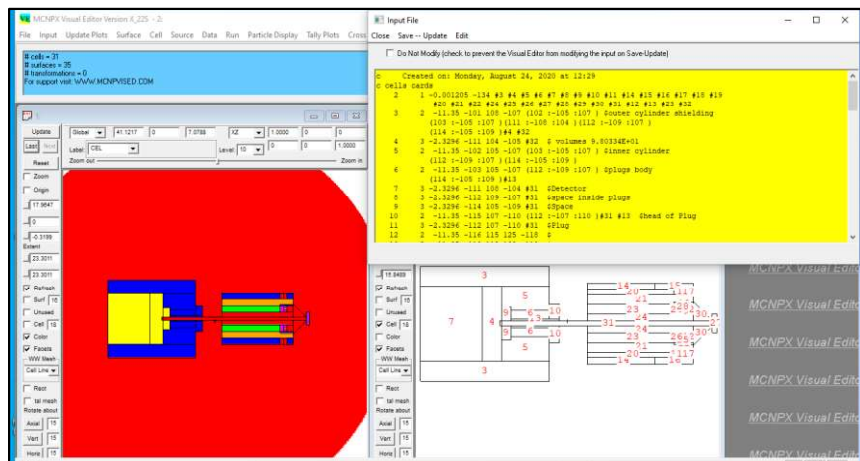
شکل ۳ طرح مجموعه آشکارساز.

۱۰ / بهینه‌سازی دستگاه تشخیص فلزات کمیاب با استفاده از شبیه‌سازی مونت کارلو

طرح و مونتاژ نهایی دستگاه تشخیص عناصر کمیاب شامل سه قسمت اصلی: (الف) نمونه، (ب) مجموعه چشم، (ج) مجموعه آشکارساز، در شکل ۴ نشان داده شده است. برای تشخیص و ردیابی اشعه ایکس مشخصه عناصر کمیاب نمونه توسط آشکارساز، خروجی نرم افزار MCNPX در حالت فوتون (Mode: P) در نظر گرفته شد. برای محاسبه شار انرژی انتقال یافته از فوتون‌های ورودی به آشکارساز، از شمارش گرهای F2 (متوسط شار عبوری از سطح) و F4 (شار متوسط در یاخته) با واحد MeV.cm^2 در کد شبیه‌سازی استفاده شد. هندسه دستگاه در مختصات متعامد و مت Shank از ۳۱ کارت سلولی است که توسط ۳۵ کارت سطحی در نرم افزار MCNPX شبیه‌سازی شده است. شکل ۵ هندسه شبیه‌سازی شده مسئله در محیط نرم افزار هسته‌ای MCNPX را نشان می‌دهد.



شکل ۴ مونتاژ دستگاه تشخیص عناصر کمیاب، از راست به چپ: نمونه، چشم، آشکارساز.



شکل ۵ کد شبیه‌سازی تحقیق در محیط نرم افزار MCNPX.

آمرسیوم به عنوان یک چشمۀ گاما دارای طیف انرژی گسته در محدوده کمتر از keV است [۱۲]. بر اساس انرژی طیف اشعه ایکس ساطع شده از عناصر کمیاب، دامنه انرژی تشخیص پذیر توسط این آشکارساز در محدوده $0\text{--}60 \text{ keV}$ در نظر گرفته شد.

آشکارسازهای واقعی شامل غلظت بسیار کمی از ناخالصی ژرمانیوم بوده که درصد وزنی آن تقریباً نزدیک صفر است و در شبیه‌سازی می‌توان از آن صرف نظر کرد. در این پژوهش، عناصر آهن، مس، روی، زرنيخ، سرب و جیوه به عنوان عناصر کمیاب هدف در نظر گرفته شده که طیف انرژی اشعه ایکس ساطع شده در سری $K_{\alpha 1}$ این عناصر به ترتیب $8/40$ ، $6/40$ ، $8/05$ ، $10/54$ و $21/18$ keV است [۱۳]. انرژی آزادسازی اشعه ایکس سری $K_{\alpha 1}$ برای جیوه از بیشینه انرژی گامای ساطع شده از چشمۀ آمرسیوم بزرگ‌تر بوده و بنابراین برای تشخیص عنصر جیوه از اشعه ایکس مشخصه آن در سری $L_{\alpha 1}$ با انرژی $9/99$ keV استفاده خواهد شد [۱۴].

جنس نمونه در یاخته شماره ۶، بر اساس عناصر مد نظر در یک نمونه می‌تواند تغییر کند. فاصله مکانی چشمۀ حلقوی از نمونه (SSD)^۳ و همچنین از آشکارساز (SDD)^۴ به عنوان مجهول دیگر بررسی شد. انرژی فوتون‌های گامای ساطع شده از چشمۀ آمرسیوم، $13/5$ و $26/4$ و $59/5$ keV در نظر گرفته شد [۱۴]. در کد کامپیوتری MCNPX^۵، ۱۰ آزمون آماری مونت کارلو برای سنجش دقّت و صحّت نتایج شبیه‌سازی قرار داده شده است. شکل ۶ نتایج این ۱۰ تست آماری را نشان می‌دهد، که بر اساس آن نتایج حاصل از شبیه‌سازی در این تحقیق دارای ضریب اطمینان زیادی است.

results of 10 statistical checks for the estimated answer for the tally fluctuation chart (tfc) bin of tally 4										
tfc bin behavior	--mean-- behavior	-----relative error-----			----variance of the variance----			-figure of merit--		-pdf-
		value	decrease	decrease rate	value	decrease	decrease rate	value	behavior	slope
desired	random	<0.10	yes	1/sqrt(nps)	<0.10	yes	1/nps	constant	random	>3.00
observed	random	0.01	yes	yes	0.00	yes	yes	constant	random	10.00
passed?	yes	yes	yes	yes	yes	yes	yes	yes	yes	yes

شکل ۶ خروجی نرم‌افزار MCNPX برای ۱۰ آزمون آماری تأییدکننده در نتایج شبیه‌سازی مونت کارلو.

یکی از کمیت‌هایی که در دقّت و صحّت روش طیف‌سننجی تأثیر بسیار مهمی دارد، شدت تابش ورودی به آشکارساز است که به صورت شار سطحی انرژی انتقال یافته به آشکارساز توسط باریکۀ تابشی در واحد زاویۀ فضایی تعریف می‌شود. رابطه ۱ شدت تابش را نشان می‌دهد [۱۵]، که در آن I_{Ω} شدت تابش، $d\phi$ شار سطحی انرژی انتقال یافته در واحد زمان [۱۶] و $d\Omega$ زاویۀ فضایی است،

$$I_{\Omega} = \frac{d\Phi}{d\Omega} \left(\frac{W}{Sr} \right) \quad (1)$$

^۳ SSD: Source-Sample Distance

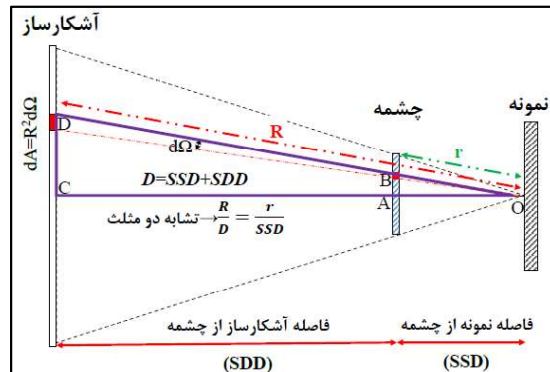
^۴ SDD: Source-Detector Distance

با توجه به تعریف شار سطحی انرژی و همچنین محاسبه مساحت المان سطحی بر سطح آشکارساز، رابطه شدت تابش به صورت رابطه ۲ بازنویسی می‌شود [۱۷]. در این رابطه dA سطحی از آشکارساز است که توسط زاویهٔ فضایی $d\Omega$ محصور شده است. همچنین، E چگالی سطحی تابش (W.m^{-2}) بوده که برابر با انرژی انتقال یافته به واحد سطح آشکارساز در واحد زمان است. فاصله سطح مدل نظر بر روی آشکارساز تا مرکز نمونه است، R

$$I_\Omega = \frac{EdA}{d\Omega} \xrightarrow{dA=R^2 d\Omega} I_\Omega \propto R^2 E \quad (2)$$

شکل ۷ نحوه تابش اشعه ایکس از نمونه به آشکارساز را نشان می‌دهد. با توجه به تشابه دو مثلث OCD و OAB، می‌توان رابطه شدت تابش را به صورت رابطه ۳ بازنویسی کرد، که در آن OAB و SSD به ترتیب فاصله نمونه تا آشکارساز و فاصله نمونه تا چشم می‌باشد و r وتر مثلث OAB است،

$$\frac{R}{D} = \frac{r}{SSD} \rightarrow R^2 \propto \frac{1}{SSD^2} \Rightarrow I_\Omega \propto \frac{E}{SSD^2} \quad (3)$$



شکل ۷ نمودار تجسمی برای ارزیابی شدت پرتو.

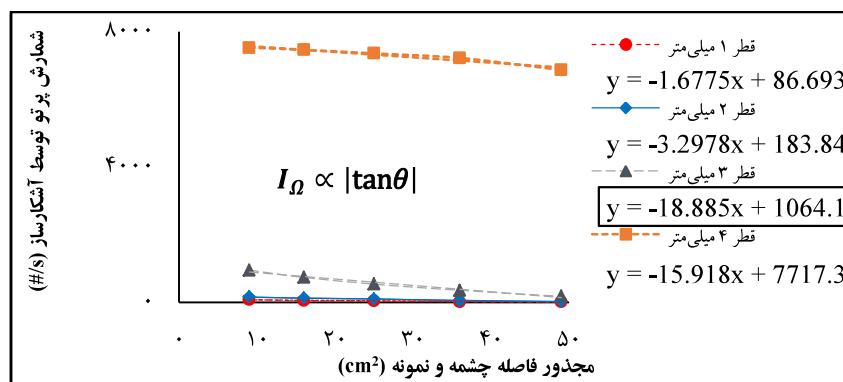
۳. نتایج و بحث

۱-۳ تعیین قطر بهینه پنجره موازی‌ساز

در ابتدا قطر پنجره ورودی موازی‌ساز برابر با ۱ mm انتخاب شده و کد رایانه‌ای آماده شده در نرم‌افزار MCNPX برای مقادیر SSD در محدوده ۳ تا ۷ (cm) و به صورت جداگانه، پنج مرتبه اجرا شد. این عمل برای قطرهای ۲ و ۳ و ۴ (mm) پنجره موازی‌ساز تکرار شد. برای تعیین قطر بهینه حفره موازی‌ساز، به جز فاصله نمونه از چشم (SSD) و قطر موازی‌ساز (d)، تمامی اشکال و ابعاد هندسه در تمامی اجراهای کد نرم‌افزاری MCNPX، ثابت در نظر گرفته شد.

منحنی شمارش پرتو توسط آشکارساز (متناوب با چگالی تابش) نسبت به مجذور فاصله نمونه تا چشم، بر اساس خروجی اجراهای شبیه‌سازی مونت کارلو، در شکل ۸ نشان داده شده است. بر اساس رابطه^۳، شب این نمودارهای با شدت تابش پرتو ایکس ورودی به آشکارساز رابطه مستقیم دارد. نمودار مربوط به پنجره موازی‌ساز با قطر ۳ mm دارای بیشترین شب بوده که نشان‌دهنده بیشترین شدت تابش اشعه ایکس نمونه در این قطر است. در نمودارهای مربوط به پنجره موازی‌ساز با قطر کمتر از ۳ mm، بیشتر میزان اشعه ایکس خروجی از نمونه قبل از ورود به آشکارساز، جذب موازی‌ساز شده و در نتیجه شدت تابش جذب شده در آشکارساز به شدت کاهش می‌یابد.

از طرف دیگر و بر اساس فاصله عرضی نمودارها در شکل ۸، در موازی‌سازهای با قطر بزرگ‌تر از ۳ mm میزان بیشتری از تابش زمینه از موازی‌ساز عبور کرده و وارد آشکارساز می‌شود. همچنین، شب نمودار برای $d > 3 \text{ mm}$ کاهش می‌یابد و در نتیجه شدت تابش و همچنین دقت طیف‌سنگی اشعه ایکس کاهش می‌یابد. بنابراین، برای افزایش شدت تابش ورودی به آشکارساز و در نتیجه بهبود دقت تشخیص سیستم طیف‌سنگی برای آشکارسازی با ورودی به قطر ۸ cm، پنجره ورودی موازی‌سازی با قطر ۳ mm پیشنهاد می‌شود.

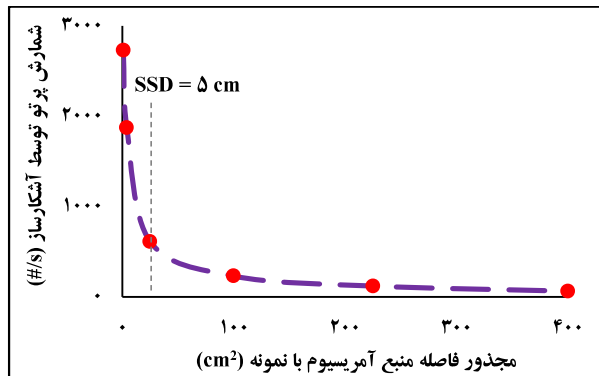


شکل ۸ نمودار شمارش آشکارساز با مجذور فاصله چشم و نمونه در قطرهای مختلف حفره موازی‌ساز.

۲-۳ تأثیر فاصله چشم‌آمرسیوم با نمونه در شدت تابش اشعه ایکس

یکی از مشخصات مهم در طراحی و بهینه‌سازی سیستم تشخیص عناصر کمیاب، تعیین فاصله مناسب چشم‌آمرسیوم تا نمونه است. برای این منظور تمامی پارامترهای هندسه سیستم، از جمله قطر موازی‌ساز (۳ mm) و فاصله چشم‌آمرسیوم تا آشکارساز (۱۵ cm)، ثابت در نظر گرفته شد. سپس، برای SSD مقادیر ۱، ۲، ۵، ۱۰، ۱۵ و ۲۰ (cm)، کد شبیه‌سازی به صورت جداگانه اجرا شد.

شکل ۹ نمودار شمارش پرتو در آشکارساز به نسبت مجذور فاصله چشم‌ه تا نمونه را بر اساس نتایج ۶ اجرای کد شبیه‌سازی برای مقادیر مختلف SSD نشان می‌دهد. این نمودار از دو خط تقریباً راست در دو طرف $SSD = 5 \text{ cm}$ تشکیل شده است. بر اساس معادله ۳ و شکل ۸ شدت تابش به عنوان پارامتر اصلی در طیف سنجی در مقادیر SSD کمتر از 5 cm ، بسیار بیشتر و تقریباً ثابت (خط راست) است. بنابراین، فاصله بین چشم و نمونه را می‌توان در محدوده نیم تا پنج سانتی‌متر انتخاب کرد. کمینه این محدوده به دلیل نوع و شکل طراحی حفاظت سربی چشم‌ه است. زیرا برای کاهش پراکندگی باریکه گامای ساطع شده از چشم‌ه در فضای آزمایشگاه، حفاظت سربی چشم‌ه از جلو (در سمت نمونه) حدود 0.5 cm و از پشت (در جهت آشکارساز) حدود 5 cm از $SSD = 3 \text{ cm}$ لب چشم‌ه حلقوی بیشتر پیش آمده است. در ادامه این تحقیق، مقدار بهینه شد.



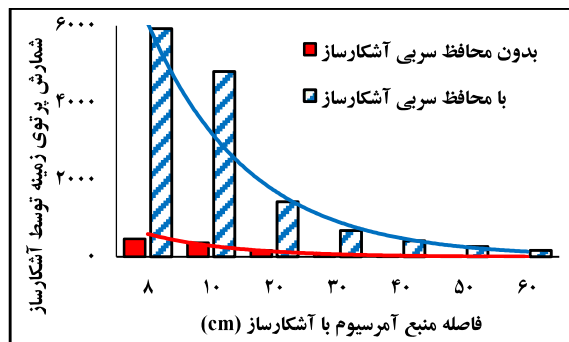
شکل ۹ نمودار شمارش آشکارساز به مجذور فاصله چشم‌ه تا نمونه.

۳-۳ تأثیر حفاظت آشکارساز در شدت تابش اشعه ایکس

برای تعیین اثر حفاظت آشکارساز، نمونه را از جنس هوا در نظر گرفته و در ابتدا جنس سلول حفاظ آشکارساز نیز هوا انتخاب شده و تمامی هندسه سیستم ثابت در نظر گرفته شد. در این حالت کد نرم‌افزار MCNPX برای فاصله چشم‌ه با آشکارساز (SDD) (به اندازه ۸، ۱۰، ۲۰، ۳۰، ۴۰، ۵۰ و ۶۰ cm) اجرا شد. همین عمل برای حفاظت آشکارساز از جنس سرب و برای SDD با اندازه‌های مشابه حالت قبل اجرا شد، که نتایج کد شبیه‌سازی در شکل ۱۰ نشان داده شده است.

حضور حفاظت سربی اطراف دیواره‌های خارجی آشکارساز باعث کاهش بسیار زیاد جذب تابش پس زمینه می‌شود. به عبارت بهتر، حتی با حضور موازی ساز در پنجره ورودی آشکارساز، استفاده از حفاظت اطراف دیواره‌های فلزی آشکارساز می‌تواند (به دلیل جذب این پرتوها و جلوگیری از پراکندگی ثانویه آن‌ها توسط این دیواره‌ها)، باعث کاهش شدید ورود تابش

پس زمینه به آشکارساز و همچنین کمینگی قله پراکندگی و در نتیجه افزایش دقت نتایج طیف سنجی شود. در شکل ۱۰، برای فاصله SDD بزرگتر از ۳۰ cm، شب نمودارها تقریباً صفر است، که جذب کم ترین میزان پرتوی زمینه را نشان می‌دهد. به همین دلیل، در این تحقیق مقدار بهینه SDD برابر با ۳۰ cm انتخاب شد، تا با کم ترین میزان تابش پیش زمینه به آشکارساز، بیشینه شدت تابش ورودی را داشته باشد.

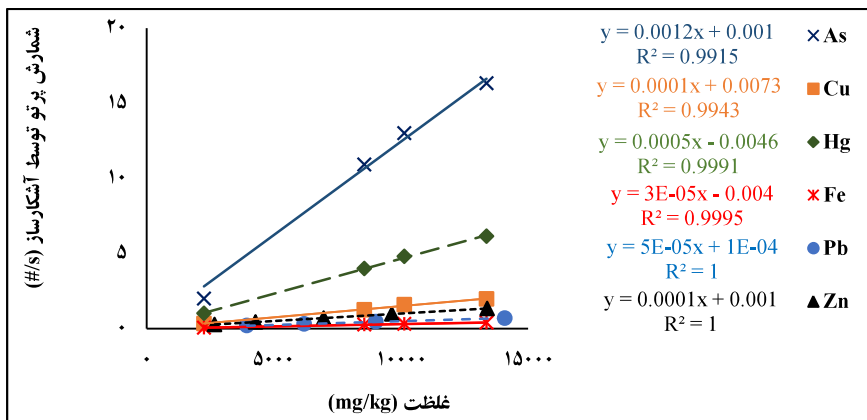


شکل ۱۰ نمودار شمارش پرتوی زمینه توسط آشکارساز به فاصله چشم به آشکارساز (SDD) در دو حالت حضور و عدم حضور حفاظ آشکارساز.

۴-۳ محاسبه حداقل حد تشخیص غلظت عناصر هدف (MDL)

در هر دستگاه طیف سنجی، حداقل حد تشخیص غلظت برای یک عنصر خاص به صورت دو برابر نسبت عدم قطعیت غلظت عنصر مدنظر (در نمونه ای که حاوی آن عنصر نیست) به شب نمودار کالیبراسیون آن عنصر تعریف می شود [۱۸] بر اساس نتایج اجراهای کد شیوه سازی، مقادیر بهینه محاسبه شده برای فاصله چشم تا آشکارساز، فاصله چشم تا نمونه و قطر موازی ساز در پنجره ورودی آشکارساز، به ترتیب برابر با ۳ mm، ۳۰ cm و ۳ cm انتخاب شد. همچنین دیوارهای بیرونی آشکارساز نیز با یک حفاظ سربی محافظت شد. سپس کد شیوه سازی برای ۴ غلظت متفاوت از یک عنصر خاص در هندسه نمونه (یاخته شماره ۶) اجرا شد. شکل ۱۱ منحنی های کالیبراسیون عناصر زرنيخ، مس، جيوه، آهن، سرب و روی را بر اساس خروجی ۴ اجرا در غلظت های متفاوت از هر عنصر نشان می دهد.

همچنین، عدم قطعیت، شب نمودار کالیبراسیون و حداقل میزان غلظت قابل تشخیص این ۶ عنصر در جدول ۱ نشان داده شده است. حداقل میزان تشخیص سه فلز سنگین زرنيخ، سرب و جيوه توسط دستگاه XRF شیوه سازی شده، به ترتیب ۰/۱۷، ۰/۴۰ و ۱۸/۴۰ (mg/kg) تخمین زده شد. این ۳ فلز سنگین برای سیستم های زنده بسیار مضرمند.



شکل ۱۱ شب نمودار کالیبراسیون غلظت زریخ، مس، جیوه، آهن، سرب و منگنز با استفاده از نرم افزار MCNPX.

جدول ۱ مختصات نمودار کالیبراسیون و حداقل حد تشخیص غلظت زریخ، مس، جیوه، آهن، سرب، منگنز.

عنصر	عدم قطعیت (δ) (mg/kg)	شب نمودار ($\tan \theta$)	$MDL^1 = (2\delta/\tan \theta)$ (mg/kg)
زریخ	۰/۰۰۰۱	۰/۰۱۲	۰/۱۷
سرب	۰/۰۰۰۰۱	۰/۰۰۰۰۵	۰/۴۰
جیوه	۰/۰۰۴۶	۰/۰۰۰۵	۱۸/۴۰
روی	۰/۰۰۱	۰/۰۰۰۱	۲۰/۰۰
مس	۰/۰۰۷۳	۰/۰۰۰۱	۱۴۶/۰۰
آهن	۰/۰۰۴	۰/۰۰۰۰۳	۲۶۶/۶۷

^۱ کمینه حد تشخیص غلظت

نتایج شبیه‌سازی حد تشخیص عنصر روی را 20 mg/kg تعیین کرد. روی از عناصر ضروری موجودات زنده است. با این حال به میزان بسیار اندکی نیاز است. بنابراین، دستگاه طراحی شده برای تشخیص عناصر زریخ، سرب، جیوه و روی در بسیاری از انواع نمونه‌ها، از جمله در علوم زیستی و پزشکی و مهندسی، قادر به تشخیص بوده و کاربرد خواهد داشت. دو فلز مس و آهن نیز به عنوان عناصر ضروری در حیات و محیط زیست دسته‌بندی می‌شود. مس و آهن در محدوده مقادیر درصدی (10000 mg/kg) در نمونه‌های محیطی یافت می‌شود. کمینه غلظت قابل تشخیص توسط سیستم XRF شبیه‌سازی شده برای فلزات مس و آهن، به ترتیب (mg/kg) $146/00$ و $266/67$ تعیین شده که از حد میزان غلظت و همچنین محدوده آلاندگی این دو عنصر در بسیاری از انواع نمونه‌ها، به ویژه نمونه‌های زیستی کمتر است [۱۹].

برای ارزیابی اعتبار نتایج حاصل از شبیه‌سازی مونت کارلو، مقادیر کمینه حد تشخیص غلظت عناصر کمیاب حاصل از شبیه‌سازی با نتایج تجربی مقایسه شد. الدروبی و همکاران با استفاده از سیستمی مشابه، غلظت عناصر جیوه و سرب را در نمونه‌های بیولوژیکی موی سر انسان به صورت تجربی اندازه‌گیری کردند. نتایج آنها با مقادیر شبیه‌سازی شده برای کمینه حد تشخیص غلظت عناصر کمیاب در این تحقیق، مطابقت کامل داشته و نشان می‌دهد که نتایج روش مونت کارلو برای طراحی و بهینه‌سازی سیستم تشخیص عناصر کمیاب معتبر است [۷].

۴. نتیجه‌گیری

ابتدا با استفاده از نرم‌افزار Solidworks مراحل کامل طراحی قطعات و مونتاژ سیستم تشخیص عناصر کمیاب بر اساس ردیابی اشعه ایکس مشخصه عناصر هدف در نمونه، ارائه شده و سپس در کد MCNPX شبیه‌سازی شد. بعد از اطمینان از درستی کد، با استفاده از روش مونت کارلو و با اجرای کد کامپیوتری در شرایط متنوع، مقدار بهینه اندازه قطر موازی‌ساز در ورودی آشکارساز (d) ۳mm، فاصله چشمی از هدف (SSD) کمتر از ۵cm و همچنین فاصله چشمی از آشکارساز (SDD) ۳۰cm تعیین شد. همچنین، با رسم نمودار کالیبراسیون برای عناصر هدف حداقل حد غلظت قابل تشخیص با سیستم طراحی شده برای عناصر زرنيخ، سرب، جیوه، روی، مس و آهن به ترتیب ۰/۱۷، ۰/۴۰، ۰/۴۰، ۱۸/۴۰، ۲۰/۰۰، ۱۴۶/۰۰ و ۲۶۶/۶۷ (mg/kg) محاسبه شد. با توجه به غلظت و حد آلایندگی این عناصر، دستگاه تشخیص فلزات کمیاب طراحی شده برای نمونه‌های تحقیقاتی و آموزشی، به ویژه در نمونه‌های محیط زیستی و کشاورزی، بسیار کاربردی و مفید خواهد بود.

۵. تقدیر و تشکر

این تحقیق توسط دانشگاه تربت حیدریه و با کد تحقیقاتی "UTH:۱۳۹۹/۰۶/۱۵۷۹" پشتیبانی مالی شده است. بنابراین، مؤلف این مقاله بر خود لازم می‌داند از همکاری صمیمانه معاونت محترم آموزشی و پژوهشی دانشگاه تربت حیدریه تشکر و قدردانی کند.

منابع

- [1] Tousi E. T., Firoozabadi M. M., and Shiva M., "Determination of the thorium potential in Shah-Kooh area in Iran by NAA and comparison with the results of ICP and XRF techniques", *Measurement*, **90**, 20-24 (2016).
- [2] Tousi E. T., et al., "Measurement of Percentage Depth Dose and Half Value Layer of the Rhizophora spp. Particleboard Bonded by Eremurus spp. to 60, 80 and 100 kVp Diagnostic X-rays", *MAPAN*, **33**(3), 321-328 (2018).

- [3] Pushie M. J., et al., "Elemental and chemically specific X-ray fluorescence imaging of biological systems", *Chemical Reviews*, **114**(17), 8499-8541 (2014).
- [4] Beckhoff B., et al., "Handbook of practical X-ray fluorescence analysis". Germany: Springer-Verlag GmbH, Heidelberg, 877 (2007).
- [5] Shakhreerat B. Z., et al., "Mass attenuation coefficients of natural Rhizophora spp. wood for X-rays in the 15.77–25.27 keV range", *Radiation Protection Dosimetry*, **135**(1), 47-53 (2009).
- [6] Marashdeh M. W., et al., "Determining the mass attenuation coefficient, effective atomic number, and electron density of raw wood and binderless particleboards of Rhizophora spp. by using Monte Carlo simulation", *Results in Physics*, **5**, 228-234 (2015).
- [7] Aldroobi K. S. A., et al., "Determination of Arsenic and Mercury level in Scalp Hair from a Selected Population in Penang, Malaysia using XRF Technique", *Radiation Physics and Chemistry*, **91**, 9-14 (2013).
- [8] Tousi E. T., et al., "Measurement of mass attenuation coefficients of Eremurus-Rhizophora spp. particleboards for X-ray in the 16.63–25.30 keV energy range", *Radiation Physics and Chemistry*, **103**, 119-125 (2014).
- [9] Abuarra A., et al., "XRF Technique for the Evaluation of Gum Arabic Bonded Rhizophora spp. Particleboards as Tissue Equivalent Material", *International Journal of Applied Physics and Mathematics*, **4**(3), 201-204 (2014).
- [10] Tousi E. T., et al., "Evaluation of the mass attenuation coefficient and Effective Atomic Number of the Eremurus spp. Root in Mammography Energy Range", *IOSR Journal of Applied Physics*, **9**(1), 100-104 (2017).
- [11] Marashdeh M. W., "Effect of the LEGe detector collimators on K-series peaks and Compton scattering in XRF analysis using gamma rays", *Heliyon*, **4**(8), e00724 (2018).
- [12] Terada K., et al., "Measurements of gamma-ray emission probabilities of 241, 243Am and 239Np", *Journal of Nuclear Science and Technology*, **53**(11), 1881-1888 (2016).
- [13] Thompson A. C. and Vaughan D., "X-ray data booklet". Vol. 8, California: Lawrence Berkeley National Laboratory, University of California Berkeley (2001).
- [14] Zschornack G., "X-Ray Emission Lines and Atomic Level Characteristics", in *Handbook of X-Ray Data*, Springer: Heidelberg, Germany. p. 179-609 (2007).
- [15] Franck H. and Franck D., in *Forensic Engineering Fundamentals*, CRC Press: Taylor & Francis Group: Boca Raton, Florida. p. 389 (2013).
- [16] Aarts M. P. J. and Rosemann A. L. P., "Towards a uniform specification of light therapy devices for the treatment of affective disorders and use for non-image forming effects: Radiant flux", *Journal of affective disorders*, **235**, 142-149 (2018).
- [17] Balanis C. A., "Antenna theory: analysis and design", John Wiley & Sons: New Jersey. p. 37 (2016).
- [18] O'Meara J. M., Börjesson J., and Chettle D. R., "Improving the in vivo X-ray fluorescence (XRF) measurement of renal mercury", *Applied Radiation and Isotopes*, **53**(4-5), 639-646 (2000).
- [19] Tousi E. T., "Evaluation of levels of some trace metals in Crocus sativus L. and their transfer trend from soil to saffron by using neutron activation analysis (In Persian)", *Saffron Agronomy and Technology*, **8**(3), 377-397 (2020).